PICK1 在肝纤维化中的表达变化及功能研究

陈培杰¹²³ 李 俊¹²³ 黄 成¹²³ 孟晓明¹²³ 蔡双朋¹²³

摘要 目的 研究蛋白激酶 C 结合蛋白 1(PICK1) 在小鼠肝 纤维及活化的肝星状细胞中的表达变化 并探讨其对人肝星 状细胞株(LX-2)活化的影响。方法 建立四氯化碳(CCl₄) 诱导的小鼠肝纤维化模型 观察 PICK1 在肝纤维化过程中的 表达变化; 转化生长因子 β1(TGF-β1) 刺激 LX-2 活化 ,Western blot 测定 PICK1 的蛋白表达情况; 转染 PICK1 过表达质 粒至 LX-2 中,再以 TGF-B1 诱导活化, Western blot 检测 PICK1、α平滑肌肌动蛋白(α-SMA)、I型胶原(Colla1)和 Smad2、3 及其磷酸化水平的蛋白表达情况。结果 正常组 小鼠肝脏中 PICK1 表达较高,随着肝纤维化的加重,PICK1 的表达逐渐递减。TGF-B1 诱导活化的 LX-2 细胞中 PICK1 表达降低。转染 PICK1 过表达质粒后 ,TGF-β1 诱导的 α-SMA、Collal 的表达明显减少 ,且 Smad2、3 磷酸化水平显著 下降。结论 PICK1 在纤维化肝组织及活化的 HSC 中表达 下调。过表达 PICK1 可抑制 TGF-β1 诱导的 LX-2 活化,可 能是通过抑制 TGF-β/Smad 通路而发挥作用,为肝纤维化的 防治研究提供了新的思路和靶点。

关键词 PICK1; 肝纤维化; 肝星状细胞 中图分类号 R 322.47; R 329.25; R 575; R 965 文献标志码 A 文章编号 1000-1492(2015)11-1606-05

肝纤维化(hepatic fibrosis , HF) 是由多种病因引起的肝脏慢性损伤修复反应 ,以细胞外基质(extracellular matrix ,ECM) 的沉积为特征 $^{[1-2]}$ 。研究 $^{[2]}$ 显示肝星状细胞(hepatic stellate cells , HSC) 增殖并活化为肌成纤维细胞是 HF 发病的核心环节 ,HSC 可以被多种细胞因子激活 ,其中以转化生长因子 β 1 (transforming growth factor β 1 , TGF- β 1) 为代表。

蛋白激酶 C 结合蛋白 1(protein interacting with Ca-kinase-1, PICK1) 在细胞的增殖、凋亡等多种生理过程中发挥重要作用^[3-4],但其在 HF 中的表达

2015-06-29 接收

基金项目: 国家自然科学基金(编号: 81273526、81473268); 安徽省 重点科技攻关项目(编号: 1301042212); 安徽省自然科学 基金(编号: 1308085MH145); 高等学校博士学科点专项 科研基金(编号: 20123420120001)

作者单位: 安徽医科大学¹ 药学院、² 肝病研究所³ 安徽省创新药物 产业共性研究院 合肥 230032

作者简介: 陈培杰 ,女 ,硕士研究生;

李 俊 男 博士 教授 博士生导师 责任作者 Æ-mail: lijun@ ahmu. edu. cn 和功能研究尚没有报道。研究 $^{[5]}$ 表明 PICK1 可以负调控 TGF $_{
m B}$ 通路 ,使细胞对 TGF $_{
m B}$ 1 的反应性增强 提示 PICK1 可能参与了肝纤维化的发展。因此该研究观察 PICK1 在肝纤维化过程中的表达情况 ,并转染 PICK1 质粒 ,检测 α -肌动蛋白 (α -smooth muscle actin , α -SMA) 和 I 型胶原 (collagen type I , Coll α 1)的表达水平 探讨 PICK1 对 HSC 活化的作用及作用机制。

1 材料与方法

1.1 材料

- 1.1.1 实验动物 40 只雄性 C57BL/6J 小鼠 ,普通 级 6~8 周龄 ,由安徽医科大学实验动物中心提供。1.1.2 细胞株 人肝星状细胞株(LX-2) 由上海中
- 1.1.2 细胞株 人肝星状细胞株(LX-2) 由上海中 医药大学附属曙光医院徐列明教授馈赠。
- 1.1.3 主要材料与试剂 四氯化碳(carbon tetrachloride, CCl₄)(上海汕头西陇化工厂);重组人转化生长因子β1(TGF-β1)(英国 PeproTech 公司); DMEM 培养液、OPTI-MEM、胎牛血清、胰酶、青 链霉素溶液(美国 Gibco 公司); Lipofectamine™ 2000(美国 Invitrogen 公司); A PICK1 质粒(上海吉凯公司); Rabbit pAb anti-PICK1 抗体(美国 Abcam 公司); Rabbit anti-Col1α1(北京博奥森公司); Mouse anti-β-actin(北京中杉金桥公司); Mouse anti-β-actin(北京中 Fisher Scientific 公司)
- 1.1.4 仪器 NAPCO-6100 型细胞培养箱(美国 SHELLAB 公司); SW-CJ-IF 型超净工作台(江苏苏净集团苏州安泰空气技术有限公司); Sigam3-16K高速离心机(美国 Sigma 公司); 冷冻离心机 TGL-18R(珠海黑马医学仪器有限公司); Western blot 设备(美国 Biorad 公司)。

1.2 方法

1.2.1 动物分组与肝纤维模型的建立 小鼠适应性喂养 1 周后 随机分为正常对照组、模型 4 周组、模型 6 周组、模型 8 周组 ,每组 10 只。模型组每只小鼠按 0.02 ml/g 体重腹腔注射 10% CCl₄(按体积

比 CCl_4 : 橄榄油 = 1:9) ,每周 2 次 ,持续 4 周 ,之后 每周 1 次。分别于第 $4 \times 6 \times 8$ 周处死动物。正常对照 组小鼠在相同的时间点腹腔注射同等体积的橄榄油。在末次注射 24 h 后 ,引颈处死动物 ,立即摘取部分肝脏 -80 °C 保存备用。另取一部分组织于 10% 甲醛溶液中固定 ,用于组织病理学观察。

- 1.2.2 病理学检查 取相同部位小鼠肝脏右叶组织 石蜡包埋,切片,分别进行苏木精 伊红(HE) 染色和 Masson 胶原纤维染色,观察肝脏组织的病理学改变和胶原纤维增生情况,分析和评价 CCl_4 诱导小鼠肝损伤和纤维化程度。
- 1.2.3 LX-2 细胞培养和传代 LX-2 细胞使用含 有 10% 胎牛血清及 100 U/ml 青霉素和 100 mg/ml 链霉素的高糖培养基,置于37℃、5% CO,培养箱中 培养。当细胞生长融合达到约80%时,用0.25%胰 蛋白酶消化传代或按所需浓度接种培养瓶、培养板。 1.2.4 LX-2 的诱导活化 取对数生长期的细胞接 种于6 孔板中 ,置于 37℃、5% CO₂ 培养箱中培养 12 h 使细胞贴壁,然后添加终浓度为 0、2、5、10 ng/ml 的 TGF-B1 ,于培养箱中继续培养 24 h 使细胞活化。 1.2.5 转染 LX-2 细胞生长融合大约 80% 时 ,用 Opti-MEM 培养液分别稀释 Lipofectamine™ 2000 和 质粒至所需浓度 室温静置 5 min。将稀释后的质粒 与 Lipofectamine [™] 2000 小心吹打混匀 ,室温再静置 20 min 以形成稳定的质粒 – 脂质体复合物。随后弃 去旧培养液 将上述含有复合物的培养液加入待转 染细胞 6 h 后更换完全培养基 DMEM 并加入 TGFβ1(5 ng/ml) ,继续作用 24 h。实验分组为正常组: 不做任何处理; 模型组: 以等体积的 Opti-MEM 代替 转染液; 阴性对照组: 转染 GV144-control 空载质粒; PICK1 过表达组: 转染 GV144-PICK1 质粒。
- 1.2.6 Western blot 检测蛋白水平 收集肝组织及处理后的细胞 ,加入 RIPA 蛋白裂解液 ,冰上裂解 , 4%、12~000 r/min 离心 30~min ,取上清液进行蛋白定量后加入上样缓冲液 ,100~% 加热 10~min 使蛋白变性 .然后进行聚丙烯酰胺凝胶电泳。电泳后按蛋白分子量大小切胶转膜 ,以 5% 的脱脂奶粉室温封闭 3~h ,Tris-HCl-Tween(TBST) 洗膜后 ,分别用相应的抗体(1:500) 孵育 ,次日 ,膜用 TBST 清洗后 ,用与一抗种属相匹配的的二抗室温孵育 1~h ,ECL 发光试剂盒显影 ,以 β-actin 为内参 ,Image J 软件扫描并分析蛋白质表达相对含量。
- 1.3 统计学处理 采用 SPSS 13.0 软件进行分析,数据以 $\bar{x} \pm s$ 表示 ,用 One-Way ANOVA 检验各组间差异的显著性。

2 结果

- 2.1 小鼠肝纤维化进程中肝脏病理学改变
- 2.1.1 小鼠肝组织大体观察 正常对照组小鼠肝脏表面光滑、柔软,边缘锐利,颜色呈红棕色,可以看见肝组织中有丰富的血管。模型组小鼠肝脏肿胀偏大,质地较硬,表面粗糙,且可以看到有中等量到大量的灰黄色的结节。
- 2.1.2 肝脏组织学改变 HE 染色及 Masson 染色显示: 正常对照组小鼠肝细胞排列整齐,肝小叶结构完整,未见病理性改变,只有极少量细小的蓝色纤维组织,位于血管周围。CCI₄ 造模 4 周后肝小叶结构开始紊乱,并伴有脂肪空泡,有少量胶原纤维沉积。造模第 6 周可见肝小叶结构破坏,并伴有大量脂肪空泡,纤维间隔明显增厚,形成假小叶。造模第 8 周肝小叶结构明显破坏,肝脏出现广泛的脂肪变性。提示小鼠肝纤维化模型建立成功。见图 1。

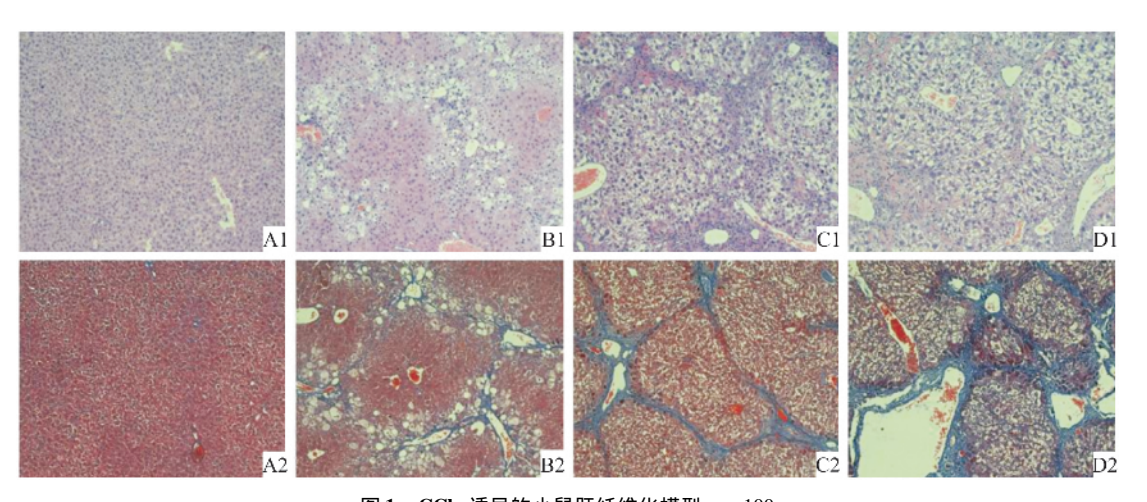


图 1 CCl₄ 诱导的小鼠肝纤维化模型 ×100 A: 正常对照组; B: 模型 4 周组; C: 模型 6 周组; D: 模型 8 周组; 1: HE; 2: Masson 染色

- 2.2 PICK1 在 CCI₄ 诱导的小鼠肝纤维化组织中的蛋白表达 Western blot 结果显示 ,正常对照组小鼠肝组织 PICK1 表达量较高 ,模型组小鼠肝组织 PICK1 表达量较正常对照组明显降低 ,并且随 CCI₄ 造模时间的延长及纤维化程度加重 ,表达量逐渐下降 ,差异有统计学意义(F=193.123 ,P<0.05); $\alpha-SMA$ 在肝组织中的表达及变化趋势与其相反 ,与正常对照组比较差异有统计学意义(F=464.929 ,P<0.05)。见图 2。
- **2.3 TGF-β1** 诱导的肝星状细胞中 **PICK1** 蛋白表达 Western blot 检测结果显示 ,TGF-β1 诱导 LX-2 细胞活化后 ,α-SMA 蛋白表达显著增加 ,与正常对照组比较差异有统计学意义(F = 80.04 ,P < 0.05) ,但 PICK1 蛋白较正常对照组表达则显著下降(F = 8.932 ,P < 0.05)。见图 3。
- 2.4 过表达 PICK1 对 TGF- β 1 诱导的肝星状细胞活化的影响 Western blot 结果显示 ,转染 GV144-PICK1 质粒后 ,LX-2 细胞内 PICK1 蛋白表达水平与阴性对照组相比显著升高 ,差异有统计学意义(F = 14.458 ,P < 0.05)。与正常组比较 ,模型组 α -SMA蛋白水平明显升高(F = 57.34 ,P < 0.01) ,Col1 α 1蛋白水平也显著上升(F = 24.539 ,P < 0.01) ,提示TGF- β 1 成功诱导 LX-2 细胞活化。而转染 GV144-PICK1 质粒后 α -SMA蛋白水平较阴性对照组显著下降(F = 57.34 ,P < 0.01) ,Col1 α 1 蛋白水平也明显降低(F = 24.539 ,P < 0.01) 。表明过表达 PICK1

可以抑制 TGF-B1 诱导的 LX-2 的活化。见图 4。

2.5 过表达 PICK1 对 TGF-β1 诱导的肝星状细胞中 Smad2 和 Smad3 磷酸化水平的影响 为了进一步研究 PICK1 的作用机制,笔者进一步检测了 PICK1 过表达后,LX-2 中 Smad2、3 及二者的磷酸化水平,Western blot 结果显示,与正常组比较 模型组 Smad2 蛋白磷酸化水平显著升高(F = 82.289,P < 0.05), Smad3 蛋白磷酸化水平也显著上升(F = 8.732,P < 0.05); 而转染 GV144-PICK1 质粒后, Smad2 蛋白磷酸化水平显著下降(F = 82.289,P < 0.05), Smad3 蛋白磷酸化水平也明显降低(F = 8.732,P < 0.05)。见图 5。

3 讨论

研究 $^{[6-7]}$ 表明 TGF- $\beta1$ 是肝纤维化最重要的始动因子之一,TGF- $\beta1$ 可以促进 HSC 增殖活化及 ECM 的合成,其主要通过 TGF- β /Smad 通路发挥效应 因此拮抗 TGF- $\beta1$ 对细胞的作用、抑制 TGF- β /Smad 通路对于抗肝纤维化研究至关重要。

研究 $^{[5]}$ 显示 PICK1 能够负调控 TGF- β /Smad 通路 影响细胞对 TGF- β 1 的反应性。因此,本研究首先建立了小鼠肝纤维化模型,发现 PICK1 在正常对照组表达量较高,而随着肝纤维化程度的加重,PICK1 的表达逐渐降低,与 α -SMA 表达趋势相反,提示 PICK1 可能参与了肝纤维化的发展。然后课题组应用TGF- β 1诱导LX-2活化并检测PICK1的蛋

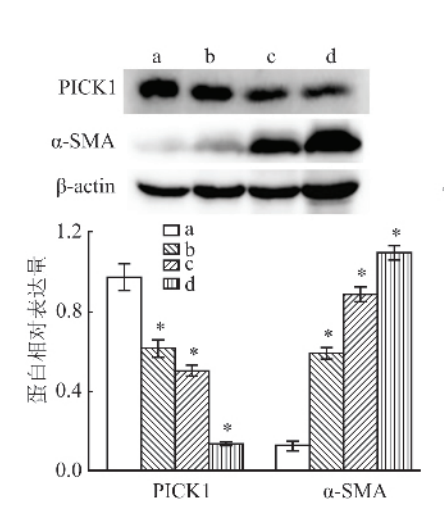


图 2 PICK1 在小鼠肝纤维化肝组织中的表达情况

a: 正常对照组; b: 模型 4 周组; c: 模型 6 周组; d: 模型 8 周组; 与正常对 照组比较: * P < 0.05

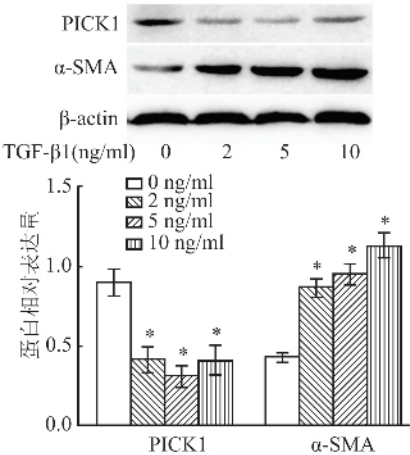


图 3 PICK1 在 TGF- β 1 ($0 \cdot 2 \cdot 5 \cdot 10$ ng/ml) 诱导活化的 LX-2 中的表达情况

与 0 ng/ml TGF- β 1 比较: * P < 0.05

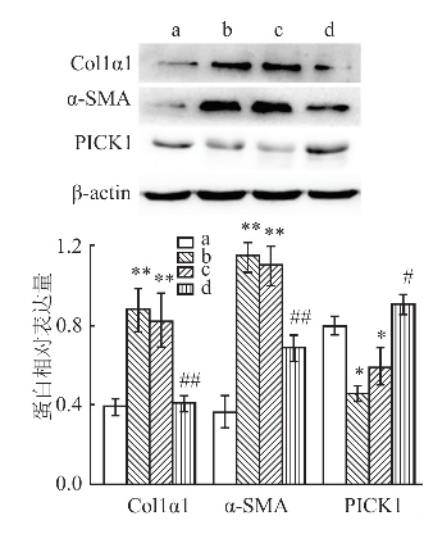


图 4 过表达 PICK1 对 TGF- $\beta 1$ 诱导的 LX-2 活化的影响

a: 正常组; b: 模型组; c: 阴性对照组; d: PICK1 过表达组; 与正常组比较: * P < 0.05 ,**P < 0.01; 与阴性对照组比较: **P < 0.05 ,**P < 0.01

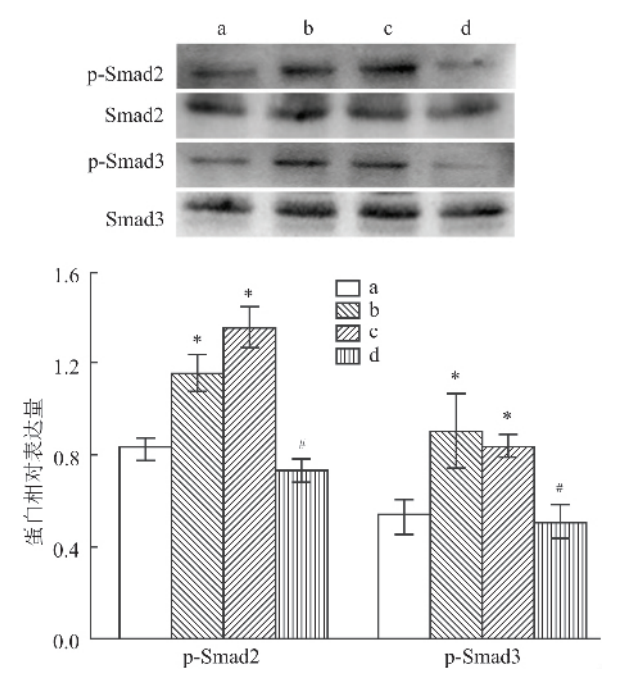


图 5 过表达 PICK1 对 TGF-β1 诱导的 LX-2 中 Smad2 和 Smad3 磷酸化水平的影响

a: 正常组; b: 模型组; c: 阴性对照组; d: PICK1 过表达组; 与正常组比较: *P < 0.05; 与阴性对照组比较: *P < 0.05

白水平,结果显示 TGF-β1 诱导 LX-2 活化后, PICK1 较正常组明显降低,这与小鼠纤维化肝组织检测结果一致,表明 PICK1 可能参与了 HSC 的活化。为进一步明确其在 HSC 中的作用,本实验室转染 PICK1 质粒,观察 PICK1 对 LX-2 活化及胶原分泌的影响, Western blot 结果显示随着 PICK1 表达水平的增加, α-SMA 及 Collα1 的蛋白表达水平较阴性对照组均显著降低,表明过表达 PICK1 可以明显抑制 TGF-β1 诱导的 LX-2 的活化和胶原的分泌。有研究 PICK1 小鼠胚胎成纤维细胞对 PICK1 反应会明显增强, PICK1 小鼠胚的细胞形态

改变更加显著、细胞迁移能力明显增强,本研究结果与之一致。另外有研究^[4-5]显示 PICK1 的表达情况通常与 TGF-β 通路蛋白呈明显负相关,过表达PICK1 可明显抑制 TGF-β1 的转录活性及 Smad2 的磷酸化,并且 PICK1 可通过抑制 TGF-β 通路,拮抗TGF-β1 对乳腺癌细胞的效应,参与乳腺癌的发生发展。因此 笔者推测 PICK1 影响 HSC 的活化可能与TGF-β/Smad 通路有关,为此课题组检测了 TGF-β/Smad 通路蛋白的表达变化,结果显示过表达 PICK1后 Smad2 及 Smad3 磷酸化水平显著下降,表明在LX-2 中 PICK1 可以抑制 TGF-β/Smad 通路,并且这可能是 PICK1 参与肝纤维化病程的机制之一。

参考文献

- [1] 占书箱 ,黄 成 ,马陶陶 ,等. 抑制 p70S6K 对 HSC-T6 增殖活 化的作用研究[J]. 安徽医科大学学报 2014 49(8): 1062 -
- [2] Lee Y A , Wallace M C , Friedman S L. Pathobiology of liver fibrosis: a translational success story [J]. Gut ,2015 ,64(5): 830 41
- [3] Xu J , Xia J. Structure and function of PICK1 [J]. Neurosignals , 2006 – 2007 , 15(4): 190 – 201.
- [4] Zhang B, Cao W, Zhang F, et al. Protein interacting with C alpha kinase 1 (PICK1) is involved in promoting tumor growth and correlates with poor prognosis of human breast cancer [J]. Cancer sci, 2010, 101(6): 1536-42.
- [5] Zhao B , Wang Q , Du J , et al. PICK1 promotes caveolin-dependent degradation of TGF-beta type I receptor [J]. Cell Res ,2012 , 22(10): 1467 78.
- [6] Thatcher J D. The TGF-beta signal transduction pathway [J]. Sci signal ,2010 ,3(119): tr4.
- [7] Shen H, Huang G J, Gong Y W. Effect of transforming growth factor beta and bone morphogenetic proteins on rat hepatic stellate cell proliferation and trans-differentiation [J]. World J gastroenterol, 2003, 9(4): 784-7.

The expression and effect of PICK1 in liver fibrosis

Chen Peijie^{1,2,3}, Li Jun^{1,2,3}, Huang Cheng^{1,2,3}, et al

(¹School of Pharmacy Anhui Medical University , ²Institute for Liver Diseases of Anhui Medical University; ³Anhui Institute of Innovative Drugs , Hefei 230032)

Abstract *Objective* To explore the expression of protein interacting with Ca-kinase-I (PICK1) in fibrotic liver of mice and activated hepatic stellate cell , and investigate the effect of PICK1 on the activation of hepatic stellate cell strain (LX-2). *Methods* Liver fibrosis model in mice was induced by CCl4 and then the PICK1 level was detected in fibrotic liver tissue. LX-2 cells were activated by transforming growth factor β 1 (TGF- β 1) , and the protein level of PICK1 was detected by Western blot. After transfected with the plasmid expressing PICK1 , LX-2 was stimulated with TGF- β 1 , the levels of α -smooth muscle actin(α -SMA) , collagen type I (Col1a1) , Smad2 , 3 and phosphorylation level of them were determined by Western blot. *Results* PICK1 was highly expressed in normal

人 β4GalT II 基因在哺乳动物细胞株中的表达与定位

徐雪琴,潘林鑫,耿慧武,刘晓颖,范礼斌

摘要 目的 运用基因克隆技术构建人源 β1 Α-半乳糖转 移酶 II (β4GalT II) 真核表达质粒 并将其转染到 COS7 细胞 中,观察蛋白在细胞内的定位,同时转染到 HEK 293T 细胞 中检测其表达。方法 分别设计带 FLAG 标签和 GFP 标签 的 β4GalT II 基因的特异性引物 、以含人 β4GalT II 全长 cDNA 序列为模板 ,定向构建到 pcDNA3. 1(+) 及 pCDGFP 真核表 达载体中 构建重组表达质粒。通过酶切和测序鉴定阳性重 组质粒 利用 Lipofectamine 2000 分别转染 COS7、HEK 293T 细胞 免疫荧光显微镜观察重组蛋白在细胞内的定位 Western blot 法鉴定重组蛋白的表达。结果 成功构建 pcD-NA3. 1-β4GalT II -FLAG 和 pCDGFP-β4GalT II 重组表达载体, 定位实验表明: β4GalT II -FLAG 和 GFP-β4GalT II 二者在 COS7 细胞中均主要定位在细胞核周围 ,并有明显的块状染 色 胞核中未见明显分布; Western blot 法检测显示重组 β4GalT II 蛋白在 HEK 293T 细胞中稳定表达。结论 获得了 人 β4GalT II 的真核表达质粒 并能在 COS7 和 HEK 293T 细 胞中表达,为进一步研究 β4GalT II 的功能及其与其他蛋白 的相互作用奠定了一定基础。

关键词 β4GalT II; 转染; 细胞定位; 蛋白表达

中图分类号 R 341; R 394.2

文献标志码 A 文章编号 1000-1492(2015)11-1610-05

β1 ,4-半乳糖转移酶 II (β1 ,4-galactosyltrans-

2015 - 07 - 30 接收

基金项目: 国家自然科学基金青年科学基金项目(编号: 81201368) 作者单位: 安徽医科大学生命科学学院生物学教研室 ,合肥 230032 作者简介: 徐雪琴 ,女 ,硕士研究生;

范礼斌 男 教授 硕士生导师 责任作者 E-mail: lfan@ ah-mu. edu. cn;

刘晓颖 ,女 副教授 ,责任作者 ,E-mail: liuxiaoying@ ahmu. edu. cn

ferase II ,β4GalT II) 是 β1 .4-半乳糖转移酶家族的 一员 Raquel 利用 EST 数据库独立发现的 ,其与家 族中首个被发现的 β4GalT [有高达 55% 的序列同 源性,在胎脑中表达较高,在心脏、骨骼肌、胰腺、睾 丸、前列腺、卵巢、小肠中也均有表达[1-3]。人 β4GalT II 基因定位于 1p34-p33 ,包含 10 个外显子 , 基因全长 111 970 bp ,mRNA 全长 2 209 bp ,编码含 372 个氨基酸残基的约 42 ku 的 β4GalT II 蛋白^[1 A]。 β4GalT II 与大多数的糖基转移酶有着相似的结构 域 主要包括短的胞质区 N-未端肽段、跨膜结构域 以及催化结构域 其跨膜结构域可能对其在高尔基 复合体上的定位是至关重要的[5]。该研究通过在 pcDNA3.1(+)载体及 pCDGFP 载体的多克隆位点 插入 β4GalT II 的 cDNA 片段 ,分别构建了带 FLAG 标签的真核表达质粒 pcDNA3. 1- β4GalT II -FLAG 和带 GFP 标签的真核表达质粒 pCDGFP-β4GalT II , 并将其转染进 COS7 和 HEK 293T 细胞中 初步观察 β4GalT || 在哺乳动物细胞内的定位及表达情况 ,为 后续探究该蛋白的生物学功能提供理论依据。

1 材料与方法

1.1 材料

- 1.1 质粒、菌株与细胞 含人 β4GalT II 全长 cDNA 序列的模板由安徽医科大学李俊教授提供; 质粒 pcDNA3.1(+)购自 Invitrogen 公司; pCDGFP 质粒、TG1 菌株、COS7 及 HEK 293T 细胞株均由安徽医科大学生物实验室保存。
- 1.2 主要试剂 PCR 引物合成和测序均由上海英

liver tissues and progressively down-regulated as liver fibrosis progressed. The expression of PICK1 was down-regulated in activated LX-2 induced by TGF- β 1. The hepatic stellate cell transfected with PICK1-plasmid showed remarkablely decreased TGF- β 1-induced α -SMA and Col1a1 expression and obviously declined phosphorylation levels of Smad2 and Smad3. *Conclusion* The expression of PICK1 decreases in fibrotic livers and activated hepatic stellate cell. Over-expression of PICK1 can suppress the activation of hepatic stellate cell induced by TGF- β 1, and probably because of the inhibitory effect on TGF- β /Smad pathway, which provides new ideas and targets for the prevention and treatment of liver fibrosis.

Key words PICK1; Liver Fibrosis; hepatic stellate cell